

## RESEARCH ADVANCE

# CORINTO Y LAS FLUCTUACIONES DE LA ECONOMÍA GRIEGA DURANTE EL SIGLO V ANTES DE NUESTRA ERA

## *Corinth and the Fluctuations of Greek Economy during the 5th Century BC*

*Pascual Izquierdo-Egea*

Laboratorio de Arqueología Teórica, Graus, ES



Figura 1. Mapa físico de la cuenca mediterránea indicando, de este a oeste, la localización de Corinto (Grecia) y Ampurias (España).

**RESUMEN.** *La aplicación del método de valoración contextual al análisis del registro funerario de Corinto, representado por Lequeo (Grecia), confirma una fluctuación de la economía similar a la inferida para la Ampurias griega e Iberia durante todo el siglo V antes de nuestra era; integrada por la etapa de expansión de la primera mitad y la de contracción de la segunda parte de dicha centuria.*

**PALABRAS CLAVE:** *Corinto, Lequeo, fluctuaciones, economía griega, siglo V a. C., registro funerario.*

**ABSTRACT.** *Mortuary analysis using the contextual valuation method at Corinth (represented by Lechaion, Greece) confirms economic fluctuations similar to that inferred for the Greek Ampurias and Iberia throughout the 5th century BC. These fluctuations were integrated by a stage of expansion in the first half and of contraction in the second part of that century.*

**KEYWORDS:** *Corinth, Lechaion, fluctuations, Greek economy, 5th century BC, Mortuary record.*

*Recibido: 8-12-2017. Aceptado: 15-12-2017. Publicado: 22-12-2017.*

## INTRODUCCIÓN

La necrópolis de *Lechaion* o Lequeo estaba junto al puerto homónimo —uno de los dos puertos antiguos— de Corinto, en la entrada a la península griega del Peloponeso. La trascendencia de este cementerio, según la evidencia aportada por los resultados obtenidos, se debe a la conexión inferida entre la dinámica económica de la Grecia del siglo V antes de nuestra era, observada en Corinto, y la del lejano Occidente durante ese mismo tiempo, en el otro extremo del Mediterráneo, representada por la colonia griega de Ampurias (Gerona, España) —la *Emporion* fundada por los focenses hacia el 575 a. C. (Domínguez 2010)— y la civilización ibérica (v. g. Izquierdo-Egea 2012b).

El propósito que guio la presente investigación fue el de arrojar luz sobre la probable relación entre la evolución económica de Grecia e Iberia a lo largo de la quinta centuria a. C., hipótesis formulada al confirmar anteriormente ese vínculo entre la Ampurias griega y la civilización ibérica en el siglo V antes de nuestra era (cf. Izquierdo-Egea 2012b).

## METODOLOGÍA Y SELECCIÓN DE MUESTRAS CRONOLÓGICAS

El presente estudio sigue las directrices de una nueva disciplina de indiscutible utilidad científica, la *arqueología de los fenómenos sociales* o *arqueonomía* (Izquierdo-Egea 2015a), nacida en torno al *método de valoración contextual*. Este se centra en el análisis del gasto funerario midiendo la variabilidad de los componentes mortuorios muebles que acompañaron a los difuntos en función de una serie de parámetros.

Los principios teóricos de esta metodología y su formulación matemática, incluyendo las técnicas instrumentales que la desarrollan,<sup>1</sup> vienen siendo difundidos a través de una copiosa bibliografía, de la cual se citan aquí las referencias fundamentales (Izquierdo-Egea 1993: 33-42; 1996-97: 107-111; 2012a: 33-62; 2013; 2015b; 2016),<sup>2</sup> cuya consulta es obligada para aden-

trarse en el procedimiento analítico seguido. Gracias a la medición del gasto funerario invertido en los ajueres de cada tumba, calculado a partir del valor contextual de sus componentes, se pueden observar fenómenos sociales como las fluctuaciones de la economía o la evolución de la desigualdad, la conflictividad o el nivel de recursos disponibles en una escala temporal definida por la serie de muestras cronológicas seleccionadas. Esa valiosa información aparece codificada en el registro material y las técnicas empleadas sirven para descifrarla.

Entre las variables analizadas, la más destacada es el *valor contextual* de un bien mortuario, a partir del cual se determina el *gasto funerario* consumido en el ajuer de cada enterramiento y el valor económico medio amortizado en cada muestra cronológica evaluada (*gasto funerario medio* o *riqueza relativa*). Para medir la desigualdad o diferenciación social se utiliza otro estadígrafo fundamental: el *coeficiente de variación* (CV), contrastándolo con el *coeficiente de Gini*. Ambas magnitudes se expresan en porcentajes, es decir, como índices. También se emplearon las curvas de Lorenz para observar la evolución de la desigualdad social.

Como siempre, el procedimiento analítico seguido se inicia con la selección de muestras cronológicas que cumplan los habituales criterios referidos al estado de conservación de las tumbas (intactas o bien conservadas) y la datación segura o fiable de las mismas.

Los componentes de los ajueres funerarios se codificaron como categorías particulares. Siguiendo una regla básica,<sup>3</sup> se unificaron algunas de estas últimas como categorías intermedias o genéricas cuando el número de casos era reducido (Izquierdo-Egea 2012a: 58-62). A continuación, se introdujo la información obtenida en la base de datos del programa informático *NECRO* (Izquierdo-Egea 1991). Este fue el encargado de calcular tanto el valor contextual de las categorías de bienes como el gasto funerario medio invertido en los ajueres de las tumbas y en el conjunto temporal al cual pertenecían. Después se compararon los resultados proporcionados por las muestras analizadas, a fin de apreciar sus variaciones y aislar la tendencia de la serie cronológica para cada periodo. En concreto, las fluctuaciones económicas se aíslan al confrontar la riqueza relativa de cada muestra según su escala temporal. Posterior-

<sup>1</sup> Esta metodología nació hace más de veinticinco años. Es fácilmente accesible y ha sido ampliamente difundida. Se puede consultar libremente a través de la red de redes en cualquier momento. No hay excusa para no hacerlo.

<sup>2</sup> Además, todas esas publicaciones se encuentran compiladas en una sola obra para facilitar su lectura: el volumen *Fundamentos de la arqueología de los fenómenos sociales I* (Izquierdo-Egea 2017).

<sup>3</sup> Se codifican los componentes de los ajueres mortuorios como categorías particulares, intermedias o genéricas en función del número de casos. Es decir, se procede a agrupar varias categorías cuando sus frecuencias absolutas apenas superen un efectivo. Es una regla empírica ampliamente probada que evita distorsiones indeseables en los resultados.

mente, con el concurso de otra herramienta auxiliar de cálculo estadístico, el programa *SYSTAT* (VV. AA. 2007; Wilkinson 1990), se determinó el coeficiente de variación (CV) de cada muestra para estimar la desigualdad social. De igual manera, se utilizó un recurso en línea para determinar el índice de Gini y las curvas de Lorenz (Wessa 2016a, 2016b).

Seguidamente, a partir de los datos suministrados por los anteriores parámetros, se procedió a calcular la conflictividad social y estimar el nivel de recursos disponibles para cada uno de los periodos estudiados en la serie cronológica de Corinto representada por Lequeo. La observación estadística de estas últimas variables culmina la efectividad del análisis económico y social del registro funerario. De hecho, cuantificar la conflictividad social en función del tamaño de la población y los recursos disponibles para sostenerla constituye una herramienta teórica de gran ayuda a la hora de estudiar fenómenos tan relevantes como el colapso de las civilizaciones antiguas (Izquierdo-Egea 2015b: 15).<sup>4</sup> En definitiva, la lectura de todos esos parámetros permite conocer a fondo las claves de los procesos sociales fosilizados en una parte esencial del registro material estudiado por los arqueólogos: los ajuares mortuorios.

### **Muestras cronológicas estudiadas**

El muestreo, basado en el inventario y cronología de las tumbas publicadas por Eliot y Eliot (1968: 351-365), arroja las siguientes agrupaciones temporales para la serie analizada:

1. *Segunda mitad s. VI* (c. 550-500 a. C., N = 3): C 8, C 14, C 15.
2. *Primera mitad s. V* (c. 500-450 a. C., N = 6): B 10, B 21, B 22, C 3, C 10, C 16.
3. *Segunda mitad s. V* (c. 450-400 a. C., N = 2): C 6, C 11.

A pesar del reducido tamaño de las muestras, los resultados obtenidos son plenamente significativos y en-

cajan perfectamente en el contexto histórico de la Grecia del siglo V a. C. conocido a través de otras fuentes antiguas.

### **RESULTADOS: FLUCTUACIONES ECONÓMICAS EN CORINTO DURANTE EL SIGLO V A. C.**

Según los parámetros analizados en la necrópolis de Lequeo (Corinto, Grecia), la primera mitad del siglo V antes de nuestra era registra un extraordinario incremento de la prosperidad económica indicado por el gasto funerario medio (472.76 %), el cual casi sextuplica su magnitud (véanse los resultados obtenidos en la tabla 1 y su ilustración gráfica en las figuras 2 y 3). Al mismo tiempo, desciende tanto la desigualdad social, estimada mediante el coeficiente de variación (-23.59 %) y el índice de Gini (-23.20 %),<sup>5</sup> como la conflictividad social (-86.72 %) —medida por la conflictividad estructural, muy elevada en el periodo precedente debido al contexto bélico del momento, sobre el cual se abundará al abordar las correlaciones de los resultados— y el riesgo de colapso (cf. n. 4) de la sociedad se mantiene bastante bajo. Además, el enorme aumento del nivel de recursos disponibles (1408.12 %), observado a través de estos datos, coincide plenamente con la especial pujanza de la economía en ese momento. En función de todas estas variables, cabe afirmar que el destacado incremento de la población representada en la muestra —que ahora se duplica (100 %)— obedece claramente a un aumento demográfico, el cual encaja perfectamente en este marco socioeconómico de la primera mitad del siglo V a. C. en Lequeo (Corinto, Grecia), Ampurias e Iberia, como veremos más adelante.

Por el contrario, la segunda mitad de la quinta centuria antes de nuestra era acusa una grave crisis económica y social cuya huella material quedó registrada en los ajuares de las tumbas de Lequeo. Disminuye hasta la mitad la actividad económica según muestra el abrupto descenso del gasto funerario medio o riqueza relativa (-46.08 %), aunque lo más grave es el alarmante aumento de la desigualdad social, la cual duplica su

<sup>4</sup> A principios de 2017 se alcanzó un nuevo hito metodológico al comprobar que la conflictividad dinámica (cf. Izquierdo-Egea 2015b: 11-12) es realmente *una medida del riesgo de colapso de la sociedad estudiada*. El hallazgo se produjo durante la primera fase de una investigación que tenía como objetivo establecer una ecuación estadística para medir el colapso maya, la cual verá la luz más adelante. Así pues, la *arqueología de los fenómenos sociales* o *arqueonomía* sigue avanzando con firmeza. Ahora suma el *colapso* a la lista de parámetros sociales estudiados a partir del registro funerario: fluctuación de la economía, desigualdad, conflictividad, evolución demográfica y nivel de recursos disponibles.

<sup>5</sup> La evolución de la desigualdad social expresada por las curvas de Lorenz (ver fig. 3) —obsérvese cómo cada curva se acerca o se aleja de la bisectriz según disminuyan o aumenten respectivamente las diferencias sociales— complementa los resultados obtenidos al calcular el índice de Gini y coincide plenamente con la oscilación del coeficiente de variación (ver fig. 2, 3).

Tabla 1. Resultados del análisis de la serie cronológica procedente de la necrópolis de Lequeo (Corinto, Grecia).

Periodo a. C.	GF	CV	Gini	B/T	N	CE	CD	RD
550/500	37,89	48,46	20,43	3,67	3	1,28		2,34
500/450	217,02	37,03	15,69	7,00	6	0,17	0,13	35,29
<b>450/400</b>	<b>117,01</b>	<b>84,68</b>	<b>29,94</b>	<b>6,50</b>	<b>2</b>	<b>0,72</b>	<b>4,24</b>	<b>2,78</b>

GF: gasto funerario medio, CV: coeficiente de variación (%), Gini: índice de Gini, B/T: bienes por tumba, N: tamaño de la muestra, CE: conflictividad estructural, CD: conflictividad dinámica, RD: recursos disponibles.

magnitud según indican el coeficiente de variación (128.68 %) y el índice de Gini (90.82 %). Asimismo, se dispara sobremanera la conflictividad social (323.53 %) y el riesgo de colapso de la sociedad (3161.54 %) (medidos respectivamente por la conflictividad estructural y la dinámica). La tremenda caída del nivel de recursos disponibles (-92.12 %) arroja más luz sobre la naturaleza de la gran depresión que asola Lequeo y Grecia en esa época (así como Ampurias e Iberia, como se verá seguidamente). Y la drástica reducción del tamaño de la población representada (-66.67 %) refleja un notorio descenso demográfico.

### Microeconomía

Aunque el propósito del presente avance de investigación no era abordar la microeconomía ni estudiar comparativamente el valor de cambio<sup>6</sup> de las cerámicas griegas de Ampurias (Iberia) y las de Corinto (Grecia) representadas por Lequeo, se efectuó una primera aproximación que deja entrever algunos datos relevantes, especialmente referidos a una lujosa pieza como es la *lekythos*, representante emblemática del repertorio vascular heleno.

La *lekythos* es el vaso más abundante tanto en Corinto como en Ampurias durante la etapa de prosperidad de la primera mitad del siglo V a. C. Exhibe la opulencia del momento. En ese mismo tiempo, esta mercancía importada se abarata drásticamente en Ampurias,<sup>7</sup>

<sup>6</sup> El valor de cambio de un bien funerario, equivalente al valor contextual relativo, se obtiene dividiendo su valor contextual por el valor medio de todos los bienes integrantes de la muestra cronológica considerada.

<sup>7</sup> Los datos empleados permanecían inéditos y proceden de un análisis funerario anterior, efectuado para estudiar las fluctuaciones económicas en la Ampurias del siglo V antes de nuestra era (Izquierdo-Egea 2012b).

reduciendo su valor de cambio a menos de una tercera parte (0.42) del que tenía en la segunda mitad del siglo VI antes de nuestra era (1.37). Por su parte, el valor de cambio del *skyphos* se mantiene constante en Lequeo (Corinto) desde *c.* 550-500 a. C. (0.89) hasta *c.* 500-450 a. C. (0.87).

Ahora bien, durante la crisis de la segunda mitad de la quinta centuria antes de nuestra era, la *lekythos* se reduce de forma radical en Ampurias,<sup>8</sup> pero no tanto en Corinto. En esa época duplica su valor de cambio en la ciudad griega asentada en el extremo nororiental de Iberia (1.07), mientras en Corinto se mantiene prácticamente inalterable (pasa de 0.59 a 0.52). Contrariamente, el *skyphos* no solo se encarece sino que también duplica su valor de cambio en Corinto (1.57).

### CORRELACIONES: CORINTO, GRECIA, AMPURIAS E IBERIA EN EL SIGLO V ANTES DE NUESTRA ERA

#### Corinto y Grecia

Las inferencias realizadas a partir de los parámetros analizados sostienen que los fenómenos sociales codificados en el registro funerario de Corinto, representado por Lequeo, coinciden con los acontecimientos históricos que afectaron a la Grecia del siglo V a. C.

La sociedad corintia de la segunda mitad del siglo VI a. C. (cf. tabla 1) es más pobre, desigual y conflictiva que la de la primera mitad de la siguiente centuria. La prosperidad de este último periodo se debe a la extraordinaria pujanza de la economía, el descomunal in-

<sup>8</sup> Es de suponer que como resultado de la guerra del Peloponeso que asola Grecia en ese tiempo, repercutiendo sobre el comercio a larga distancia hacia el lejano Occidente.

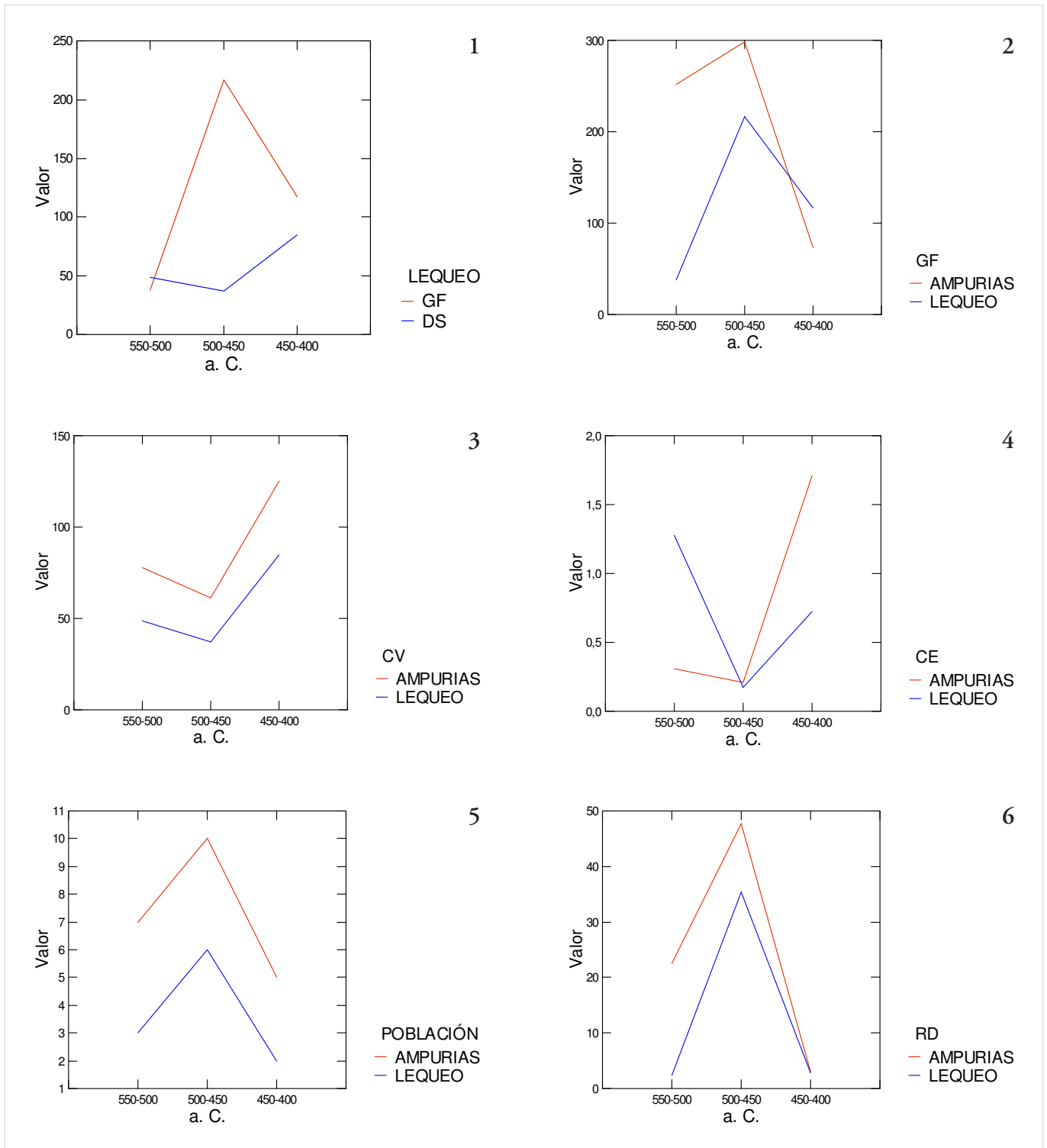


Figura 2. 1) Evolución del gasto funerario (GF) y la desigualdad social (DS) en Lequeo (Corinto, Grecia). 2) El gasto funerario (GF) en Ampurias (Gerona, España) y Lequeo. 3) La desigualdad social (CV) en Ampurias y Lequeo. 4) La conflictividad social (CE) en Ampurias y Lequeo. 5) Evolución de la población representada en Ampurias y Lequeo. 6) Oscilación del nivel de recursos disponibles (RD) estimado a partir del registro funerario de Ampurias y Lequeo.

crecimiento del nivel de recursos disponibles, el enorme crecimiento de la población, la disminución de la desigualdad social y la caída de la conflictividad interna. Todo ello confirma el notorio descenso del riesgo de colapso de la sociedad, a pesar de tener que soportar la

amenaza exterior entrañada por las guerras médicas que jalonan la primera parte del siglo V antes de nuestra era (Heródoto, V-IX). No ocurre lo mismo en la segunda mitad de dicha centuria, donde los indicadores materiales sí acusan el impacto de un contexto bélico

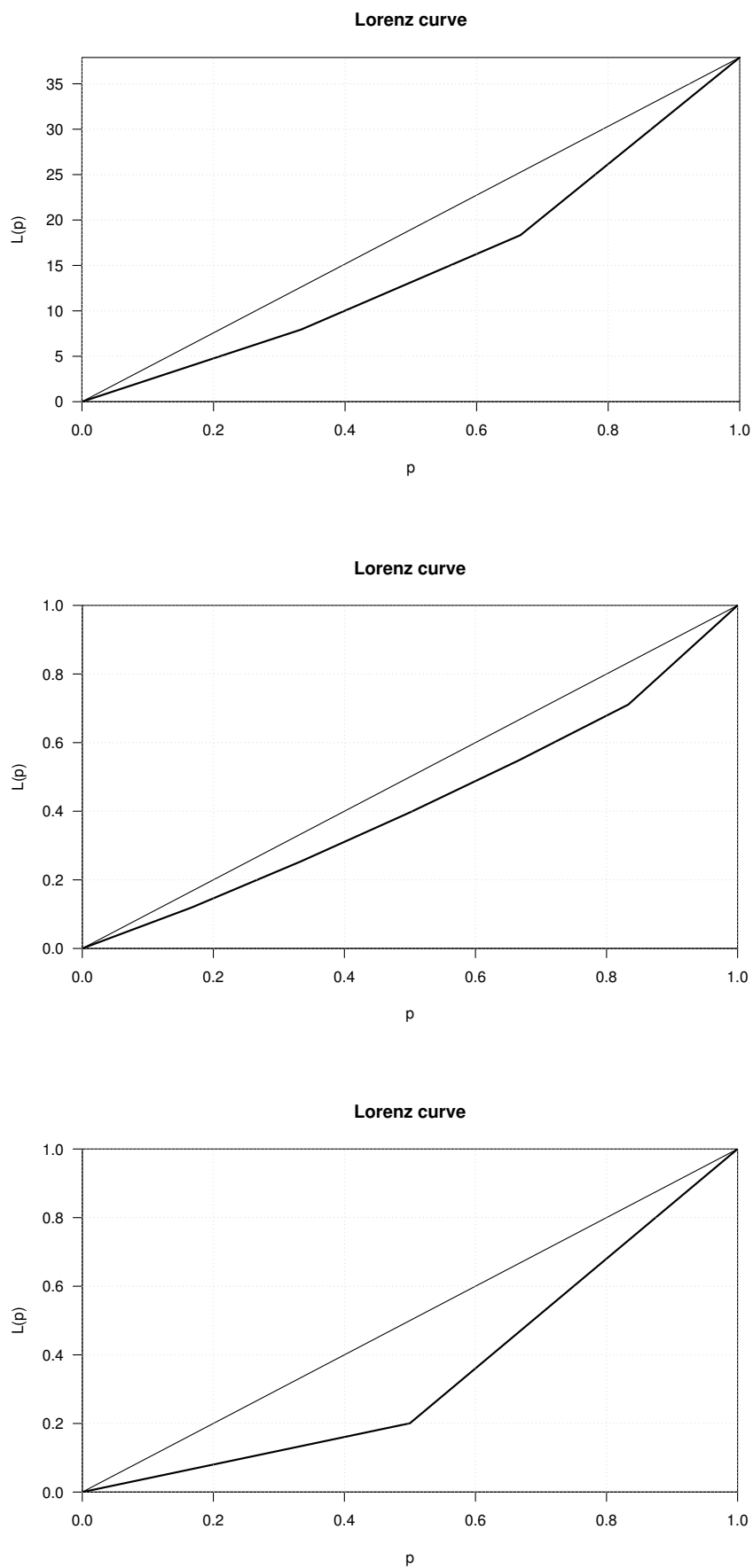


Figura 3. Curvas de Lorenz para los tres periodos analizados en la necrópolis de Lequeo (Corinto, Grecia):  
*c.* 550-500 a. C. (arriba), *c.* 500-450 a. C. (centro), *c.* 450-400 a. C. (abajo).

Tabla 2. Resultados del análisis de la serie cronológica 550-400 a. C. de las necrópolis de Ampurias (Gerona, España).

Periodo a. C.	GF	CV	Gini	B/T	N	CE	CD	RD
550/500	251,41	77,73	38,65	8,00	7	0,31		22,58
500/450	298,42	61,29	33,02	8,60	10	0,21	0,68	47,62
<b>450/400</b>	<b>73,04</b>	<b>125,20</b>	<b>56,91</b>	<b>4,40</b>	<b>5</b>	<b>1,71</b>	<b>8,14</b>	<b>2,92</b>

GF: gasto funerario medio, CV: coeficiente de variación (%), Gini: índice de Gini, B/T: bienes por tumba, N: tamaño de la muestra, CE: conflictividad estructural, CD: conflictividad dinámica, RD: recursos disponibles.

adverso que repercute directamente sobre la dinámica socioeconómica helena: un enfrentamiento civil entre griegos —Atenas y sus aliados contra Esparta y los suyos— conocido como la Guerra del Peloponeso (431-404 a. C.), bien documentado por Tucídides en su *Historia de la Guerra del Peloponeso* y Jenofonte en sus *Helénicas*. El registro funerario del puerto de Corinto muestra claramente los efectos negativos de esa lucha fratricida sobre la producción y el comercio.<sup>9</sup>

Como se ha visto antes, ahora se reduce a la mitad la actividad económica, se duplica la desigualdad social y se disparan la conflictividad y el riesgo de colapso. El drástico descenso del nivel de recursos disponibles y de la población representada confirman el desolador trance que atraviesa la civilización griega a lo largo del último tercio del siglo V antes de nuestra era.<sup>10</sup>

<sup>9</sup> Abundando sobre las diferencias entre la primera y la segunda mitad del siglo V a. C. en Grecia, las guerras médicas unen a los griegos contra los persas, se desarrollan en un tiempo de expansión y bonanza económica y se centran en determinadas zonas. Por el contrario, la Guerra del Peloponeso es una lucha civil entre griegos y acontece en un tiempo de contracción y crisis; afecta a la mayor parte de Grecia y, esta vez de forma directa, a Corinto.

<sup>10</sup> En lo que respecta a la Guerra del Peloponeso, además de las calamidades propias del enfrentamiento bélico (muerte, destrucción, hambre, enfermedad), es preciso considerar otras que se sumaron sorpresivamente para oscurecer todavía más el sombrío panorama que se cernía sobre la Grecia de ese tiempo. Por ejemplo, cuando la peste irrumpe en Atenas durante el segundo año de guerra (Tucídides, *Historia de la Guerra del Peloponeso*, II, 47). En el quinto año de la contienda, rebrota la epidemia en Atenas y acontecen terremotos en Grecia (III, 87). Nuevamente, al año siguiente, devienen más temblores de tierra, incluyendo letales maremotos y sunamis arrasando sectores de la costa (III, 89). Tucídides también relata la expedición ateniense contra Corinto en el séptimo año de guerra (IV, 42-45). Por su parte, Jenofonte destaca que Corinto estaba harta de estar en primera línea de combate y ser devastada por ello; para atajar el riesgo de una defecación, los atenienses y sus aliados masacraron a los descontentos (*Helénicas*, IV, 4, 1-2).

### *Ampurias e Iberia*

Las evidencias que aporta la presente investigación contribuyen a reforzar tanto la conexión socioeconómica entre Corinto y Ampurias como entre Grecia e Iberia a lo largo del siglo V antes de nuestra era.<sup>11</sup> De hecho, al comparar Corinto con la Ampurias griega situada en el lejano oeste, en el otro extremo del Mediterráneo, hay plena coincidencia en la evolución temporal de todas las variables analizadas: gasto funerario medio o riqueza relativa, desigualdad social, población representada, conflictividad social y nivel de recursos disponibles.

Se puede observar dicha coincidencia confrontando las tablas 1 y 2. Esta última muestra los parámetros medidos para Ampurias y amplía los resultados obtenidos en un estudio anterior (Izquierdo-Egea 2012b). En función de estos datos, se aprecia que la bonanza económica en la Ampurias de la primera mitad del siglo V a. C. (18.70 %) es muy inferior a la registrada en Corinto en esa misma época (472.76 %). El descenso de la desigualdad social según el coeficiente de variación (-21.15 %) y el índice de Gini (-14.57 %) es similar al de Lequeo. Asimismo, la disminución de la conflictividad social (-32.26 %) en Ampurias es bastante menor a la registrada en Corinto (-86.72 %). Por su parte, el nivel de recursos disponibles crece significativamente (110.89 %), aunque mucho menos que en Lequeo (1408.12 %), y el incremento demográfico emporitano (42.86 %) es inferior al corintio (100 %) según la población representada en las muestras funerarias analizadas.

<sup>11</sup> Estas evidencias son mucho más consistentes que los exóticos indicios materiales aportados por los broches de cinturón ibéricos hallados en la Grecia del siglo V, revelando la presencia de mercenarios íberos en tierras helenas (v. g. García y Bellido 1934: lámina V; 1974: 201, figs. 1-2).

El impacto de la crisis de la segunda mitad del siglo V a. C. en la Ampurias griega es mayor (-75.52 %) que en el puerto de Corinto (-46.08 %) según indica el gasto funerario medio. La desigualdad social, tal como ocurre en Lequeo, experimenta un incremento anormal —medido por el coeficiente de variación (104.27 %) y el índice de Gini (72.35 %)— en contexto adverso. Por su parte, la conflictividad social crece de forma desmesurada (714.29 %), superando con creces la medición efectuada en Corinto (323.53 %). El riesgo de colapso, estimado por la conflictividad dinámica, alcanza en la Ampurias griega un nivel muy elevado (1097.06 %), tal como ocurre en el puerto de Corinto, aunque en este último lugar es todavía mucho mayor como ya se vio anteriormente (*vide supra*). El nivel de recursos disponibles cae en picado en Ampurias a lo largo de la segunda mitad de dicha centuria (-93.87 %), siendo este resultado casi idéntico al mostrado por el puerto de Corinto (-92.12 %). En sintonía con todos esos datos, la drástica reducción de la población representada (-50 %) en las muestras refleja claramente un descenso demográfico al igual que en el otro extremo del Mediterráneo, donde Lequeo presenta un descenso similar (-66.67 %). En resumen, la crisis económica y la conflictividad social asociada a esta son mayores en Ampurias que en Corinto, aunque la desigualdad social es ligeramente superior en esta última ciudad griega, donde el riesgo de colapso supera notoriamente al registrado en la Ampurias griega.

En otro orden de cosas, hay dos fuentes fundamentales para abundar sobre la conexión entre Grecia e Iberia a lo largo de la quinta centuria a. C.: *Mailhac y las fluctuaciones económicas de la protohistoria ibérica arcaica (550-450 a. C.)* y *Fluctuaciones económicas en la Ampurias del siglo V antes de nuestra era* (Izquierdo-Egea 2011, 2012b). Las limitaciones del presente estudio no permiten extenderse mucho más, aunque sí es obligado recordar que la civilización ibérica de la primera mitad del siglo V a. C. vive una etapa de prosperidad económica que no solo incluye la fachada levantina de la península ibérica sino que también alcanza la cuenca del Aude, más allá de los Pirineos, en la actual Francia, consecuencia de la expansión ibérica de fines de la centuria anterior. Durante la primera parte del siglo V antes de nuestra era, la civilización ibérica también se expande hacia el Bajo Guadalquivir y el valle medio del Ebro (Izquierdo-Egea 2011, 2012a). En ese tiempo, la escultura ibérica alcanza su apogeo, visible en Porcuna a comienzos de dicha centuria (Domínguez 2006: 461).

El colapso de la civilización ibérica antigua o arcaica acontece a lo largo de la segunda mitad del siglo V antes de nuestra era, coincidiendo con la etapa de retracción de su economía, con una fase de recesión fechada en el tercer cuarto y otra de depresión o crisis (c. 425-400 a. C.), aisladas ambas a partir del registro funerario de numerosos cementerios ibéricos: Mianes y Mas de Mussols en el Bajo Ebro (Maluquer 1984, 1987), Los Villares de Hoya Gonzalo en Albacete (Blánquez 1990), Cabezo Lucero en el Bajo Segura (Aranegui 1992; Aranegui *et al.* 1993), Cástulo (García-Gelabert y Blázquez 1988) y Gil de Olid en el Alto Guadalquivir (Ruiz *et al.* 1984). Dicho colapso coincide con la destrucción intencionada de los monumentos funerarios en el Sureste peninsular (Olmos y Rouillard 2002), símbolos representativos del poder de la aristocracia orientalizante en la civilización ibérica antigua.

## CONCLUSIONES

El registro funerario de Lequeo, puerto de Corinto, refleja el impacto de los avatares de aquel tiempo sobre la sociedad griega allí representada. Como colofón a esta contribución, se enumeran seguidamente los principales corolarios del presente estudio.

1. La primera mitad del siglo V antes de nuestra era confirma una etapa de prosperidad antes detectada en Ampurias y muchos otros lugares de la antigua Iberia. Frente a una sociedad más pobre, desigual y conflictiva durante el periodo precedente, ahora se infiere una inusitada pujanza económica sostenida por un extraordinario crecimiento de la población y de los recursos disponibles para sostenerla, todo ello en medio de un clima de fuerte cohesión social impulsado por el descenso de la desigualdad y la conflictividad interna. Estos indicadores materiales muestran la solidez de la civilización griega que se enfrentó exitosamente a la amenaza persa en esa época.

2. Por su parte, la segunda mitad del siglo V a. C. experimenta una drástica reducción de la actividad económica, el nivel de recursos disponibles y la población representada, en consonancia con un fuerte ascenso tanto de la desigualdad como de la conflictividad y el riesgo de colapso de la sociedad. En ese tiempo sí que repercute negativamente el enfrentamiento civil entre griegos conocido como Guerra del Peloponeso.

3. Las evidencias aportadas por esta investigación arrojan luz tanto sobre la conexión socioeconómica entre Corinto y Ampurias como entre Grecia e Iberia a lo

largo del siglo V antes de nuestra era. Al comparar Corinto con la Ampurias griega, hay plena coincidencia en la evolución temporal de todos los parámetros analizados: riqueza relativa, desigualdad social, población representada, conflictividad social y nivel de recursos disponibles. Es decir, dichos indicadores sociales siguen las mismas tendencias durante toda la quinta centuria a. C. En consecuencia, Corinto, Ampurias e Iberia comparten fluctuaciones económicas similares a lo largo del siglo V antes de nuestra era; lo cual permite sostener que hubo una clara conexión entre las economías de todas esas regiones mediterráneas durante aquel lejano tiempo.

4. Aunque los resultados obtenidos son bastante significativos, el reducido tamaño de las muestras analizadas aconseja contrastar y ampliar estas pruebas. Habrá que seguir buscando más evidencias en otros cementerios griegos del siglo V a. C. para confirmar lo observado en el registro material de este puerto de Corinto.

### Sobre el autor

PASCUAL IZQUIERDO-EGEA es director y editor de la revista *Arqueología Iberoamericana desde su fundación a principios de 2009. Se doctoró con honores en la Universidad Autónoma de Barcelona (1993). Su principal línea de investigación se centra en el desarrollo de una nueva disciplina científica: la arqueología de los fenómenos sociales o arqueonomía, dedicada al estudio de las fluctuaciones económicas y los cambios sociales en la Antigüedad mediante el método de valoración contextual de los ajueres funerarios. Entre sus descubrimientos más relevantes se cuentan los ciclos económicos de la civilización ibérica o las fluctuaciones de la economía prehispanica en Mesoamérica. La presente investigación se inició en marzo de 2016.*

### BIBLIOGRAFÍA CITADA

ARANEGUI GASCÓ, C. 1992. La necrópolis de Cabezo Lucero (Guardamar del Segura, Alicante). En *Congreso de Arqueología Ibérica: las necrópolis (Madrid, 1991)*, eds. J. Blánquez y V. Antona, pp. 169-188. Madrid: Universidad Autónoma de Madrid.

ARANEGUI, C., A. JODIN, E. LLOBREGAT, P. ROUILLARD, J. UROZ. 1993. *La nécropole ibérique de Cabezo Lucero*

(*Guardamar del Segura, Alicante*). Madrid-Alicante: Casa de Velázquez-Diputación Provincial de Alicante.

BLÁNQUEZ PÉREZ, J. J. 1990. *La formación del mundo ibérico en el Sureste de la Meseta (estudio arqueológico de las necrópolis ibéricas de la provincia de Albacete)*. Albacete: Instituto de Estudios Albacetenses.

DOMÍNGUEZ, A. J.

— 2006. Greeks in the Iberian Peninsula. En *Greek Colonisation. An Account of Greek Colonies and other Settlements Overseas*, ed. G. R. Tsetschkladze, vol. 1, pp. 429-505. Leiden-Boston.

— 2010. Greeks and the Local Population in the Mediterranean: Sicily and the Iberian Peninsula. En *Archaic Greek Culture: History, Archaeology, Art & Museology. Proceedings of the International Round-Table Conference (June 2005, St-Petersburg, Russia)*, ed. S. Solovyov, pp. 25-36. BAR International Series 2061.

ELIOT, C. W. J., M. ELIOT. 1968. The Lechaion cemetery near Corinth. *Hesperia* 37/4: 345-367 + figs. 102-109.

GARCÍA-GELABERT PÉREZ, M. P., J. M. BLÁNQUEZ MARTÍNEZ. 1988. *Castulo (Jaén, España): I. Excavaciones en la necrópolis ibérica del Estacar de Robarinas (s. IV a. C.)*. British Archaeological Reports International Series 425.

GARCÍA Y BELLIDO, A.

— 1934. *Factores que contribuyeron a la helenización de la España prerromana I. Los iberos en la Grecia propia y en el Oriente helenístico*. Publicaciones de la Cátedra y Becarios de la Fundación Conde de Cartagena II. Madrid: Real Academia de la Historia.

— 1974. Otro testimonio más de la presencia de mercenarios españoles en el Mediterráneo. En *Simposio Internacional de Colonizaciones (Barcelona-Ampurias, 1971)*, eds. E. Ripoll y E. Sanmartí, pp. 201-203.

HERÓDOTO.

— 1988. *Historia. Libros V-VI*. Trad. C. Schrader. Biblioteca Clásica Gredos 39. Madrid: Ed. Gredos.

— 1994. *Historia. Libro VII*. Trad. C. Schrader. Biblioteca Clásica Gredos 82. Madrid: Ed. Gredos.

— 1989. *Historia. Libros VIII-IX*. Trad. C. Schrader. Biblioteca Clásica Gredos 130. Madrid: Ed. Gredos.

— 1994. *Historias. Libros V-IX*. Ed. A. González Caballo. Madrid: Ed. Akal.

— 1999. *Historia*. Ed. M. Balasch. Madrid: Ed. Cátedra.

IZQUIERDO-EGEA, P.

— 1991. Un programa informático para el análisis funerario en Arqueología. En *I Reunión de Aplicaciones Informáticas en Arqueología (Madrid, 1990) = Complutum 1: 133-142*.<sup>12</sup>

<sup>12</sup> <http://revistas.ucm.es/index.php/CMPL/article/view/CMPL9191120133A>.

- 1993 [1994]. *Análisis funerario y reconstrucción histórica de las formaciones sociales íberas*. Tesis doctoral. Bellaterra: Universidad Autónoma de Barcelona.
- 1996-97 [2000]. Fluctuaciones económicas y cambios sociales en la protohistoria ibérica. *Arx* 2-3: 107-138.<sup>13</sup>
- 2011. Mailhac y las fluctuaciones económicas de la protohistoria ibérica arcaica (550-450 a. C.). *Arqueología Iberoamericana* 11: 3-25. <http://purl.org/aia/111>.
- 2012a. *Economic Archaeology of Grave Goods*. *Advances in Archaeology* 1. Gaus.
- 2012b. Fluctuaciones económicas en la Ampurias del siglo V antes de nuestra era. *Arqueología Iberoamericana* 16: 3-10. <http://purl.org/aia/161>.
- 2013. On the Contextual Valuation Method and the Economic Archaeology of Grave Goods. *Advanced Archaeology* 1: 3-12. <http://purl.org/aa/011>.
- 2015a. Arqueología, arqueografía, arqueonomía. *Arqueología Iberoamericana* 25: 3-4.
- 2015b. Una técnica estadística para medir la conflictividad social a través del registro arqueológico. *Arqueología Iberoamericana* 25: 5-18. <http://purl.org/aia/251>.
- 2016. Calculando el nivel de recursos disponibles a partir del registro funerario mesoamericano. *Arqueología Iberoamericana* 29: 62-67. <http://purl.org/aia/2910>.
- 2017. *Fundamentos de la arqueología de los fenómenos sociales I*. *Advances in Archaeology* 3. Gaus.<sup>14</sup>
- JENOFONTE. 1989. *Helénicas*. Trad. D. Plácido. Madrid: Alianza Editorial.
- MALUQUER DE MOTES, J.
- 1984. *La necrópolis paleoibérica de «Mas de Mussols», Tortosa (Tarragona)*. Programa de Investigaciones Protohistóricas 8. Barcelona.
- 1987. *La necrópolis paleoibérica de Mianes en Santa Bàrbara (Tarragona)*. Programa de Investigaciones Protohistóricas 9. Barcelona.
- OLMOS, R., P. ROUILLARD. 2002. Sculpture préromaine de la Péninsule Ibérique. *Documents d'Archéologie Méridionale* 25: 269-283.
- RUIZ, A., F. HORNOS, C. CHOCLÁN, J. T. CRUZ. 1984. La necrópolis ibérica «Finca Gil de Olid» (Puente del Obispo-Baeza, Jaén). *Cuadernos de Prehistoria de la Universidad de Granada* 9: 195-235.
- TUCÍDIDES.
- 1988. *Historia de la Guerra del Peloponeso*. Ed. L. M. Macía Aparicio. Madrid: Ed. Akal.
- 1990. *Historia de la Guerra del Peloponeso. Libros I-II*. Trad. J. J. Torres Esbarranch. Biblioteca Clásica Gredos 149. Madrid: Ed. Gredos.
- 1991. *Historia de la Guerra del Peloponeso. Libros III-IV*. Trad. J. J. Torres Esbarranch. Biblioteca Clásica Gredos 151. Madrid: Ed. Gredos.
- 1992. *Historia de la Guerra del Peloponeso. Libros V-VI*. Trad. J. J. Torres Esbarranch. Biblioteca Clásica Gredos 164. Madrid: Ed. Gredos.
- 1992. *Historia de la Guerra del Peloponeso. Libros VII-VIII*. Trad. J. J. Torres Esbarranch. Biblioteca Clásica Gredos 173. Madrid: Ed. Gredos.
- VV. AA. 2007. *SYSTAT® 12. Statistics I II III IV*. Chicago: Systat Software, Inc.
- WESSA, P.
- 2016a. *Free Statistics Software*, Office for Research Development and Education, version 1.1.23-r7.<sup>15</sup>
- 2016b. Concentration and Inequality (v1.0.1) in *Free Statistics Software* (v1.1.23-r7), Office for Research Development and Education.<sup>16</sup>
- WILKINSON, L. 1990. *SYSTAT: The System for Statistics*. Evanston, IL: Systat, Inc.

<sup>13</sup> <http://laiesken.net/arxjournal/pdf/izquierdo.pdf>.

<sup>14</sup> <http://purl.org/aa/03>.

<sup>15</sup> <http://www.wessa.net/>.

<sup>16</sup> [http://www.wessa.net/rwasp\\_concentration.wasp/](http://www.wessa.net/rwasp_concentration.wasp/).